

液体に接する片持円筒殻の基本固有周期略算式

FORMULAS FOR DETERMINATION OF FUNDAMENTAL PERIODS OF CANTILEVER CYLINDRICAL SHELLS
IN CONTACT WITH LIQUID

三上 隆* 芳村 仁**
By Takashi MIKAMI and Jin YOSHIMURA

The fundamental period of a cylindrical shell in contact with a liquid is perhaps the first item of interest in dynamic analysis. This paper presents simple practical formulas for estimating the fundamental periods of the cantilever shells in beam-type ($n=1$) motion. The formulas are applicable to the following types of shells: (1) the liquid is contained within the shell; (2) the shell is submerged in the liquid; and (3) both sides of the shell are in contact with the liquid. A comparison with other solutions suggests that the proposed formulas provide satisfactory accuracy for a wide range of shells. In addition, the formulas presented are useful not only for a better understanding of the vibration characteristics of the shell but also available for a check on other numerical methods.

1. まえがき

円筒殻と液体が成す連成系の動的挙動の解明は、石油タンク、海洋構造物などさまざまな工学分野において重要な問題であり、その中でも固有周期の決定は、構造物の耐震および防振設計をする上の第一ステップである。液体に接する円筒殻は、①殻内部に液体を含む場合（内部問題）、②殻外部に液体が存在する場合（外部問題）および③殻の内外に液体が存在する場合（以下では便宜上、混合問題とよぶ）に分類され、その基本固有周期は、通常、離散モデルの固有値解析によって算定されるが、概略の耐震性などを検討するような段階では、比較的簡単でしかもある程度の精度で固有周期を推定できれば実用上十分である。

このような観点から、地震時（円周方向波数 $n=1$ ）に対する基本固有周期を推定する略算式として、Housnerの剛体動圧力式を利用した略算式¹⁾、および液体と殻の動的相互作用を考慮した算定式^{2,3,4)}が提案されているが、いずれも内部問題に対するものであり、また殻諸元パラメータも使用上十分な範囲に

* 工博 北海道大学助手 工学部土木工学科 (〒060 札幌市北区北13条西8丁目)

** 工博 北海道大学教授 工学部土木工学科 (〒060 札幌市北区北13条西8丁目)

わたって用意されていないようである。

そこで、本研究では、内部⁵⁾、外部⁵⁾および混合問題として表される液体に接する片持形式の円筒殻を対象として、広範囲の殻諸元に対して適用でき、しかも実用上十分な精度で基本固有周期を算定できる略算式を提案する。略算式は、殻の基本固有周期の特性に影響を及ぼす形状パラメータ（殻厚・半径比と殻の高さ・半径比）および材料パラメータ（液体密度・殻密度比）により表示されており、この略算式によれば、パラメータの変化に伴う周期特性の予測が容易に行える。なお略算式は、液体-円筒殻系を殻の剛性と殻の質量から成る系、殻の剛性と液体の質量から成る系の複合系ととらえ、各系の基本固有周期を合成して求めるDunkerleyの方法⁶⁾により求めた。

2. 液体に接する円筒殻の基礎方程式

図-1に示すように、液体高さHと殻の高さLが等しく、一端が剛基礎上に完全に固定され、他端が自由な一様厚さhの円筒殻を考える。E, ν, ρ_s, aをそれぞれ殻の弾性係数、ポアソン比、密度、半径とし、ρ_lを液体の密度とする。液体領域の座標系は、静止水面と殻の回転軸の交点を原点、鉛直下方にz軸とする。

本解析で用いた主な仮定は次のとおりである。

- ①液体運動は非圧縮、非粘性で渦無し流れとする。
- ②殻の運動は変形が小さく、せん断変形・回転慣性の影響を取り入れた修正理論に従うものとする。
- ③液体-殻の連成系は、円周方向波数n=1および円振動数ωの調和振動をするものとする。

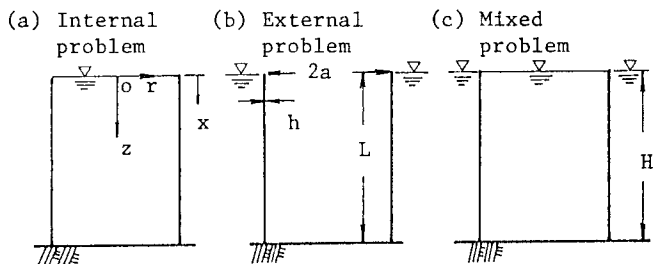


図-1 液体に接する円筒殻

液体に接する円筒殻の基礎方程

式の誘導過程の詳細は文献7)に譲るが、その概略は次のようである。まず殻の内部、外部液体を支配するラプラス方程式 $\nabla^2 \Phi = 0$ (Φ =速度ポテンシャル) を、液面条件式 $\Phi|_{t=0} = 0$ (t =時間、コンマに続く下添字は偏微分を表わす)、液底条件式 $\Phi|_{z=L} = 0$ 、接触条件式 $\Phi|_{r=a} = w(t)$ (w =殻の半径方向変位) および外部液体に対しては遠方条件式 $\Phi|_{r \rightarrow \infty} = 0$ を考慮して解き、殻に作用する動圧力を線形化ベルヌイ式 $P = -\rho_l \Phi_t$ より求める。次に、動圧力を考慮した平衡方程式(合応力・合モーメント成分、変位成分で表示)に、合応力・合モーメント成分と変位成分の関係式、および時間と位置(円周方向にはフーリエ展開を利用)の関数に分離された変位関数を用いれば、液体に接する円筒殻の基礎方程式は次のように表される。

$$[C]\{\dot{X}\} + [D]\{X'\} + [E]\{X\} = \Omega^2 ([F]\{X\} + \{P_i\}), \quad (i=IN, EX) \quad \dots \dots \dots (1)$$

ここに添字i=INは内部液体、i=EXは外部液体を表し、 $(\)' = d(\)/d\xi$ 、 $\xi = [0, 1]$ は殻の経線方向の無次元化座標系、 $\{X\}^T = (u, v, w, \beta_x, \beta_\theta)$ は変位ベクトル、[C]、[D]、[E]および[F]は殻の諸元のみで表される5x5次の行列、 Ω^2 は次式で表される液体-円筒殻系の無次元化固有円振動数パラメータである。

$$\Omega^2 = \rho_s (1 - \nu^2) a^2 \omega^2 / E \quad \dots \dots \dots (2)$$

さらに $\{P_i\}^T = (0, 0, p_i, 0, 0)$ 、($i=IN, EX$) は液体と円筒殻の相互作用により発生する外圧力ベクトルで、その非零成分 p_i は次のようなものである。

$$F = 0.6301 + 0.8174(L/a) + 0.2868(L/a)^2 + 0.5738 \times 10^{-2}(L/a)^3 \quad \dots \dots \dots (14)$$

同様に、Gは殻の剛性と液体の質量のみから成る系の関数式で、内部・外部問題に対して次のように与えられる。

内部問題に対して；

$$G_{IN} = 0.3413 + 0.5131(L/a) + 0.1197(L/a)^2 + 0.1602 \times 10^{-1}(L/a)^3 - 0.6161 \times 10^{-3}(L/a)^4 \quad \dots \dots \dots (15)$$

外部問題に対して；

$$G_{EX} = 0.2432 + 0.4747(L/a) + 0.9966 \times 10^{-1}(L/a)^2 + 0.1544 \times 10^{-1}(L/a)^3 - 0.5266 \times 10^{-3}(L/a)^4 \quad \dots \dots \dots (16)$$

なお、略算式(13)においてG=0とすれば、空の円筒殻の略算式となる。

上述の略算式(13)は次のように求めた。すなわち T_s および T_l を $T_s = 2\pi\sqrt{\rho_s a^2/E \cdot F}$, $T_l = 2\pi\sqrt{\rho_l a^3/Eh} \cdot G$ の形で表すことを考える。FとGは、ともに h/a および L/a で表される関数であるが、後述する数値例より明らかのように、ここで考慮した h/a の適用範囲のもとでは、 h/a にそれほど依存しないので、 L/a のみの関数とみなせる。次にFとGを L/a の多項式近似で表すことにして、各多項式の係数を曲線あてはめの方法により決定する（パラメータ L/a を一定間隔 $\Delta(L/a)=0.05$ で分割した151個の標本点と、それに対応するF, Gのデータに基づく最小2乗近似）。なお、曲線あてはめに必要なデータは式(6), (8)より得られるが、その解法には選点法を用いた^{7,8)}。

2) 混合問題に対する略算式

殻の内外に同時に液体が存在する場合の略算式は、式(14)～(16)およびDunkerleyの方法を用いて次のように得られる。

$$T = 2\pi\sqrt{\rho_s a^2/E} \sqrt{F^2 + (\rho_{IN}/\rho_s)(a/h)G^2_{IN} + (\rho_{EX}/\rho_s)(a/h)G^2_{EX}} \quad \dots \dots \dots (17)$$

ここで、 ρ_{IN} および ρ_{EX} はそれぞれ、内部液体および外部液体の密度を表す。

4. 提案する略算式の検証

本章では、著者らの提案する略算式による計算結果と、式(1)に選点法⁷⁾を適用した結果（以下、C.M.と略記）、既往の略算式による結果および有限要素法(F.E.M.)による結果との比較を行い、提示する略算式の妥当性を検討する。なお、特に断わりのない限り、殻および液体の材料定数には、
 $E = 2.1 \times 10^4 \text{ kgf/mm}^2 (206 \text{ GPa})$, $\nu = 0.3$,
 $\rho_s = 8 \times 10^{-6} \text{ kgf} \cdot \text{sec}^2/\text{cm}^4 (7.84 \times 10^3 \text{ kg/m}^3)$,
 $\rho_l = 1.02 \times 10^{-6} \text{ kgf} \cdot \text{sec}^2/\text{cm}^4 (10^3 \text{ kg/m}^3)$ を用いた。

1) 関数FとGに及ぼす殻厚・半径比の影響
 殻厚・半径比 $h/a = 0.0005, 0.001, 0.005, 0.01$ の各場合について、関数FとGに与える影響をみたのが図-2である。横軸が殻の高さ・半径比 L/a 、縦軸が式(6)および式(8)より求めたFとGである。これをみると、FとGは、 h/a によらずほぼ一定であり、パラメータ

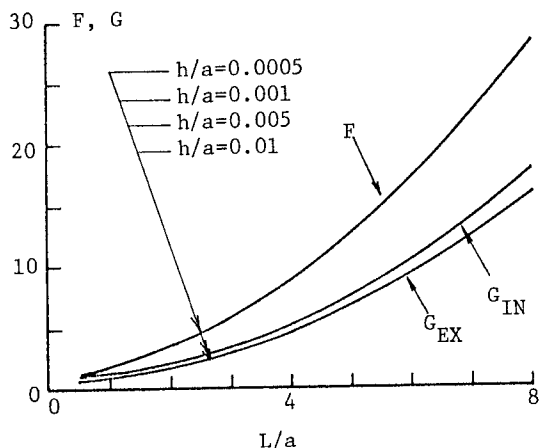


図-2 殻厚比の関数F, Gへの影響

L/a のみによって表示できることがわかる。このことは、円周方向波数 $n=1$ においては、伸び剛性が曲げ剛性より支配的であることを示し、「振動エネルギーは、波数 n が小さいときは面内振動として消費される」というArnoldとWarburtonの研究結果¹⁰⁾にも符合する。

2) 略算式の精度

(1) 空の円筒殻の場合

空の円筒殻の周期略算式は、式(13)で $G=0$ とすれば得られる。ここでは、次の二つの計算モデルについて、有限要素法(F.E.M.)の結果^{11), 12)}と比較する。

$$\text{Shell(A)}^{11)}; \quad L/a = 0.67, \quad h/a = 1.388 \times 10^{-3}, \quad a = 18.3m$$

$$\text{Shell(B)}^{12)}; \quad L/a = 2.23, \quad h/a = 0.01, \quad a = 10.16m$$

本略算式による結果はshell(A)およびshell(B)に対してそれぞれ、 $T = 2.93 \times 10^{-2} \text{ sec}$ および $T = 4.91 \times 10^{-4} \text{ sec}$ となり、一方有限要素解はそれぞれ $T = 2.94 \times 10^{-2} \text{ sec}$ および $T = 4.92 \times 10^{-4} \text{ sec}$ であり、本略算式による計算値と有限要素解はよく一致しているといえる。

(2) 内部問題の場合

まず比較のために用いた既往の代表的な略算式を示す。

$$\text{坂井らの式}^{2)}; \quad T = \sqrt{\rho_l D^2 L / (Eh)} / \lambda \quad \dots \dots \dots \quad (18)$$

$$\text{ここで } \lambda = 0.067(L/D)^2 - 0.03(L/D) + 0.46, \quad D = 2a$$

式(18)は、殻の質量を無視したもので、適用範囲は $0.3 \leq L/a \leq 4$ である。

$$\text{清水らの式}^{3)}; \quad T = L \sqrt{\rho_l D / (Eh)} \cdot f(D/L) \quad \dots \dots \dots \quad (19)$$

$$\text{ここで } f(D/L) = (2.909 + \sqrt{5.625(D/L)^2 - 6.75(D/L) + 3.43}) / \sqrt{D/L}, \quad D = 2a$$

式(19)の適用範囲は、 $0.0005 \leq h/a \leq 0.002$, $0.4 \leq L/a \leq 4$ である。

以下に二つのケーススタディを示す。

Case(1); Haroun⁹⁾らによるF.E.M.の結果と比較する。解析諸元は次のようなものである。

$$\text{shell(A)}; \quad L/a = 3, \quad h/a = 1.489 \times 10^{-3}, \quad a = 7.32m$$

$$\text{Shell(B)}; \quad L/a = 0.67, \quad h/a = 1.388 \times 10^{-3},$$

$$a = 18.3m$$

表-1に、選点法(C.M.), F.E.M.および略算式による周期(sec)を示す。これによれば、本略算式の結果は既往の結果によく一致していることがわかる。

Case(2);

密度比 ρ_l/ρ_s を変化させたときの結果を表-2に示す($\rho_l/\rho_s = 0.1275$ は水, $\rho_l/\rho_s = 0.0825$ はガソリ

表-1 内部問題の周期T(sec)

モデル	F.E.M.	C.M.	本略算式(13)	略算式(18)	略算式(19)
Shell(A)	0.2810	0.2821	0.2824	0.2849	0.2820
Shell(B)	0.1617	0.1619	0.1621	0.1521	0.1626

表-2 内部問題の $T / 2\pi \sqrt{\rho_s a^2/E}$

L/a	解 法	$h/a = 0.0005$		$h/a = 0.001$	
		$\rho^* = 0.1275$	$\rho^* = 0.0825$	$\rho^* = 0.1275$	$\rho^* = 0.0825$
1	C. M.	16.30	13.14	11.55	9.33
	本略算式(13)	15.90	12.83	11.31	9.15
	略算式(19)	15.56	12.51	11.00	8.85
3	C. M.	53.70	43.32	38.18	30.90
	本略算式(13)	53.66	43.30	38.17	30.89
	略算式(19)	54.77	44.06	38.73	31.15
5	C. M.	120.70	97.35	85.80	69.41
	本略算式(13)	120.69	97.37	85.81	69.43
8	C. M.	285.42	230.21	202.82	164.02
	本略算式(13)	285.44	230.23	202.83	164.03

$$\rho^* = \rho_l / \rho_s$$

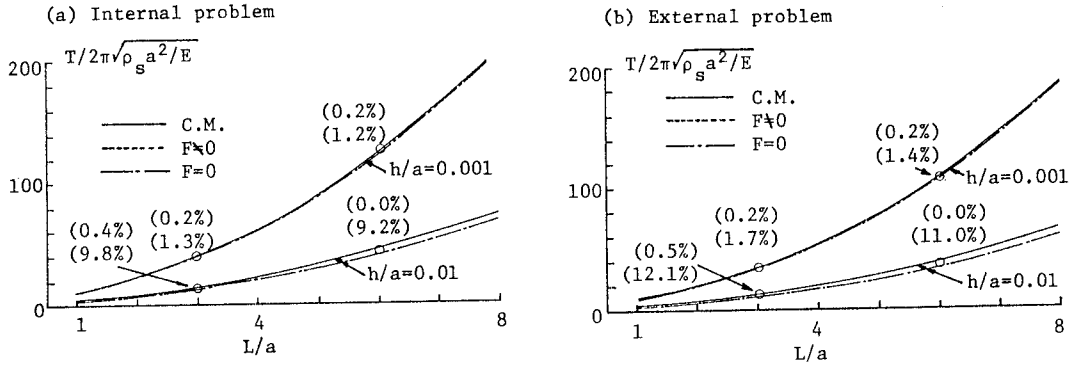


図-3 裸の質量の基本固有周期への影響

ば、本略算式の適用範囲の上限 $h/a = 0.01$ では、裸の質量を無視した略算式の結果は、周期を 10% 程度過小に評価している。

以上限られた数値結果であるが、略算式の適用可能性と、そのだいたいの精度の確認は行えたものと考えられる。なお、本略算式によれば、広範囲の形状パラメータ ($h/a, L/a$) や材料パラメータ (ρ_i/ρ_s) を有する円筒殻の固有周期性状を比較的容易に把握でき、またその有する精度から判断すれば他の近似解析手法の妥当性の確認にも有効に利用し得るものと思われる。

5. 基本固有周期の特性

ここでは、提案した略算式を用いて基本固有周期の特性を調べる。液体に接する円筒殻の略算式(13)および(17)は、次のようにも表される。

$$T = 2\pi \sqrt{a^2/E} \cdot \sqrt{\rho} \quad \dots \quad (21)$$

ここで

$$\rho = \rho_s + \rho_a \quad \dots \quad (22)$$

さらに、 ρ_{IN} および ρ_{EX} はそれぞれ、内部液体および外部液体の密度とすれば

$$\rho_a = \rho_i (a/h) C_i \quad (\text{内部・外部問題}, i = IN, EX) \quad \dots \quad (23.a)$$

$$\rho_a = \rho_{IN} (a/h) C_{IN} + \rho_{EX} (a/h) C_{EX} \quad (\text{混合問題}) \quad \dots \quad (23.b)$$

ただし

$$C_i = (G_i/F)^2 \quad \dots \quad (24)$$

上式より明らかなように、液体-殻系の周期は、密度を式(22)で表される $\rho (= \rho_s + \rho_a)$ に置き換えた空の円筒殻の周期に等しいこと、 ρ_a は液体-殻系の付加質量に相当し、それは液体密度、半径・殻厚比 a/h および高さ・半径比 L/a (C_i は式(14)～(16)より L/a の関数) に依存することがわかる。さらに、 C_i ($i = IN, EX$) は付加質量係数を表し、 L/a の関数としてグラフ化すると図-4 となる。これより、 C_i は L/a が大になるほど増加すること、 L/a を固定すれば内部液体の付加質量係数 C_{IN} は外部液体の付加質量係数 C_{EX} より大きいこと、また各係数はおおよそ $0.30 \leq C_{IN} \leq 0.40, 0.20 \leq C_{EX} \leq 0.35$ であることがわかる。

図-5 は、 $\rho_i/\rho_s = 0.1275$ とし、 $L/a = 1, 4, 8$ の各場合の内部・外部問題の周期について、殻厚比 h/a の及ぼす影響をみたものである。縦軸が空の周期 T_0 で無次元化した周期 T 、横軸が $\sqrt{h/a}$ ($0.0005 \leq$

$h/a \leq 0.01$) である。図より T/T_s は $\sqrt{h/a}$ に対して、逆比例的に減少することがわかる。これは、殻の剛性増加により殻の変形が減少し、殻と液体との相互作用による付加慣性力が減少するからである。また、 L/a と h/a を固定し、液体の存在領域の差異に着目すれば、内部問題の周期が外部問題のそれより大きく、その差は h/a の小さいときほど著しいことがわかる。

図-6 には、 $h/a = 0.0005, 0.001, 0.01$ の各場合の内部・外部問題の固有周期曲線 (L/a に対する周期の比 T/T_s の変化) を示した。これによると、周期の比 T/T_s は L/a の増加に伴って単調に増加し、その程度は殻厚比 h/a が小さいほど著しいことがわかる。

6. まとめ

液体に接する円筒殻の最も基本的な動特性である基本固有周期の略算式が、円周方向波数 $n=1$ 、ポアソン比 $\nu = 0.3$ 、液位比 $H/L = 1$ 、 $0.0005 \leq$ 殻厚比 ($= h/a \leq 0.01$)、および $0.5 \leq$ 殻高さと半径の比 ($= L/a \leq 8.0$) の殻を対象に提示され、それに基づく数値パラメータ解析を行った。その結果、次のことが明らかになった。

(1) 略算式は、液体の有無および液体の存在領域（殻の内部、外部あるいは殻の内外）によらず、実用上十分な精度で適用可能である。それゆえ、他の近似解析手法の妥当性の確認にも有効であろう。

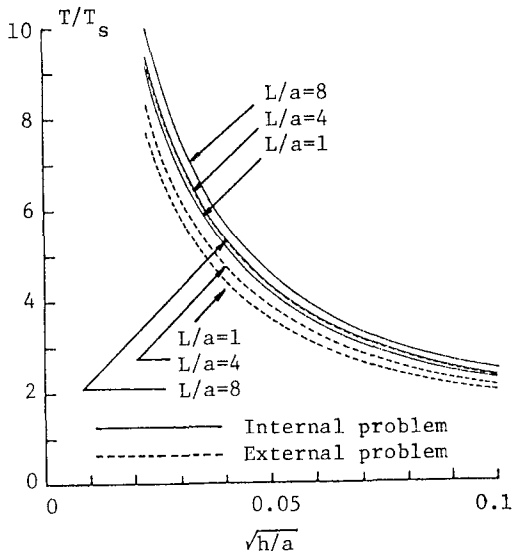


図-5 殻厚比に対する基本固有周期の変化

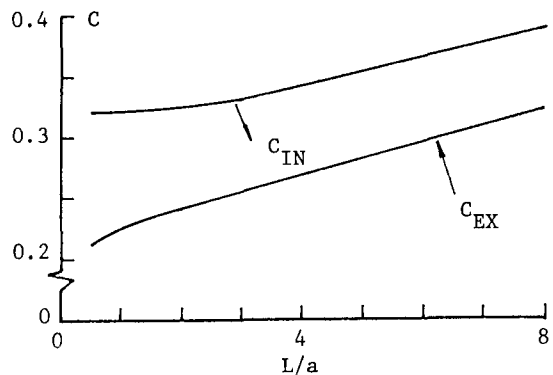


図-4 殻高さ・半径比に対する付加質量係数の変化

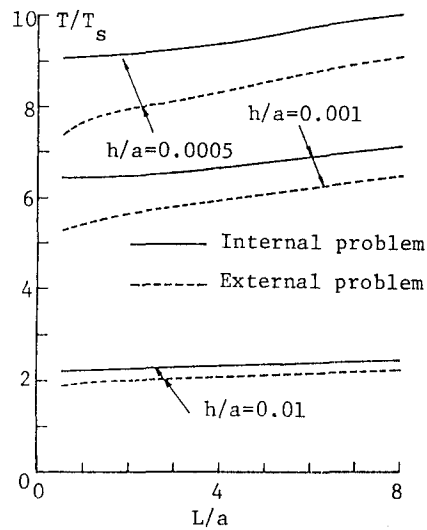


図-6 殻高さ・半径比に対する基本固有周期の変化

(2) 形状パラメータ (h/a と L/a) よび材料パラメータ (密度比 ρ_l/ρ_s) で表示された本略算式によれば、パラメータ変化に伴う固有周期特性を比較的簡単に把握し得る。

(3) 内部問題 (液体が殻内部にある場合) の付加質量係数 C (式(24)で定義) は外部問題のそれより大きく、その値はおおよそ内部問題では $0.30 \leq C \leq 0.40$ 、外部問題では $0.20 \leq C \leq 0.35$ である。

(4) 液体-殻系における殻質量の影響は h/a の増加に伴って次第に大きくなり、これを無視すれば $h/a = 0.01$ の場合 (本略算式の適用範囲の上限)、周期を 10% 程度過小に見積る結果を与える。

参考文献

- 1) 飯島延恵・萩原敏雄： 円筒シェル水槽の耐震計算について、土木学会誌、44巻、10号、pp. 19-24, 1959.
- 2) 坂井藤一・迫田浩行・小川 浩： 石油タンクの耐震設計法—API改定案に関連して、川崎重工技報、No. 71, pp. 52-59, 1979.
- 3) 清水信行・山本鎮男・河野和間： 円筒タンクの耐震設計法に関する研究 (第2報)，日本機械学会論文集 (C編)，48巻 427号，pp. 328-348, 1982.
- 4) Tedesco, J.W., Kostem, C.N. and Kalnins, A.: Free vibration analysis of cylindrical liquid storage tanks, Comput. Struct., Vol. 26, pp. 957-964, 1987.
- 5) 三上 隆・芳村 仁： 液体に接する円筒殻の固有周期略算式、土木学会北海道支部論文報告集、第45号、pp. 161-164, 1989.
- 6) Dunkerley, S.: Whirling and vibration of shafts, Phil. Trans. Royal Soc. London., Vol. 185A, pt. 1, pp. 279-360, 1894.
- 7) 三上 隆・芳村 仁： 液体に接する円筒殻の自由振動、構造工学論文集、Vol. 34A, pp. 785-796, 1988.
- 8) 三上 隆・芳村 仁： 選点法による回転殻の応力波伝播問題の解析、土木学会論文集、第374号/I-6, pp. 319-328, 1986.
- 9) Haroun, M.A. and Housner, G.W.: Complications in free vibration analysis of tanks, Proc. ASCE, Vol. 108, No. EM2, pp. 801-818, 1982.
- 10) Arnold, R.N. and Warburton, G.B.: Flexural vibrations of the walls of thin cylindrical shells having freely supported ends, Proc. Roy. Soc., Vol. 197A, pp. 238-256, 1949.
Arnold, R.N. and Warburton, G.B.: The flexural vibrations of thin cylinders, Proc. Inst. Mech. Eng., Vol. 167A, pp. 62-74, 1974.
- 11) Haroun, A.M. and Housner, G.W.: Dynamic characteristics of liquid storage tanks, Proc. ASCE, Vol. 108, No. EM5, pp. 783-800, 1982.
- 12) Sen, S.K. and Gould, P.L.: Free vibration of shells of revolution using FEM, Proc. ASCE, Vol. 100, No. EM2, pp. 283-303, 1974.

(1989年10月2日受付)